



بررسی تنوع مولکولی و ساختار ژنتیکی ارقام و لاین‌های کلزا با استفاده از نشانگرهای SSR مرتبط با QTL‌های تحمل به خشکی

حسن زالی^۱, امید سفالیان^۲, مهرشاد زین العابدینی^۳, طاهره حسنلو^۴, علی اصغری^۵ و بهرام علیزاده^۶

^۱- استادیار، بخش تحقیقات اصلاح و تهیه نهال و بذر، مرکز تحقیقات کشاورزی و منابع طبیعی فارس، سازمان تحقیقات، آموزش و ترویج کشاورزی، داراب، ایران
(نویسنده مسؤول: hzali90@yahoo.com)

^۲- دانشیار، گروه زراعت و اصلاح نباتات، دانشگاه محقق اردبیلی

^۳- استادیار، بخش ژنومیکس، پژوهشکده یوتکنولوژی کشاورزی ایران، سازمان تحقیقات، آموزش و ترویج کشاورزی، کرج، ایران

^۴- استادیار، بخش فیزیولوژی مولکولی، پژوهشکده یوتکنولوژی کشاورزی ایران، سازمان تحقیقات، آموزش و ترویج کشاورزی، کرج، ایران

^۵- دانشیار، مؤسسه تحقیقات اصلاح و تهیه نهال و بذر، سازمان تحقیقات، آموزش و ترویج کشاورزی، کرج، ایران

تاریخ دریافت: ۹۶/۱/۱۵
تاریخ پذیرش: ۹۶/۵/۲۲

چکیده

در این تحقیق تنوع ژنتیکی ۴۱ لاین و ژنوتیپ کلزا شامل ۱۹ رقم آزاد گرده‌افشان و هیبرید، ۱۷ لاین امیدبخش و ۵ لاین هاپلوبید مضافعف شده کلزا با استفاده از نشانگرهای ریزماهواره مرتبط با QTL‌های تحمل به خشکی مورد بررسی قرار گرفت. ۳۶ نشانگر مورد مطالعه، ۱۶۶ نوار قابل تشخیص ایجاد کردند و ۱۵۷ آلل (۹۴/۵۸٪) آن چندشکل بودند که نشان‌دهنده تنوع ژنتیکی قابل ملاحظه‌ای در میان لاین‌ها و ژنوتیپ‌ها بود. میزان محتوای اطلاعات چندشکلی در بین نشانگرها از ۰/۰۴۶ (FITO133) تا ۰/۳۷ (BRMS-204) متغیر بود. متوسط میزان شاخص PIC برابر با ۰/۲۱۲ بود. نتایج نشان داد که متوسط شاخص نشانگری، تنوع ژنی نی، شاخص اطلاعات شانون و تعداد آلل‌های مؤثر به ترتیب ۱/۵۰۸، ۰/۴۴۹ و ۰/۲۹۸ بود. در ارزیابی تجزیه ساختار، ارقام و لاین‌ها مورد مطالعه به دو زیر جمعیت تقسیم شدند، که زیر جمعیت اول شامل ارقام *Talaye* و *Hyola401* و *Hyola420* و لاین‌های هاپلوبید مضافعف شده *DH1*، *DH5*، *DH8* و *DH9* بودند. در تجزیه واریانس مولکولی، واریانس درون جمعیتی بیشتر از واریانس بین جمعیتی بود. در مجموع، نشانگری پیدا نشد که بتوان از آن به عنوان نشانگری در گام اول برنامه‌های اصلاحی استفاده کرد و این هدف نیاز به تحقیقات بیشتر در مورد شناسایی QTL‌های تحمل به خشکی در گیاه کلزا دارد.

واژه‌های کلیدی: کلزا، تنوع ژنتیکی، ساختار ژنتیکی، ریزماهواره‌ها

با توجه به این که کلزای هیبرید عملکرد بیشتری از لاین‌های اینبرد دارد، لزوم تعیین تنوع ژنتیکی در گیاه از اهمیت ویژه‌ای برخوردار است و استفاده از روش‌های جدید ارزیابی تنوع ژنتیکی به منظور انتخاب والدین دورگ و تعیین میزان قربات ارقام ضروری می‌باشد. در آغاز یک برنامه اصلاحی، آگاهی از روابط خویشاوندی و فیلیوژنی در میان ژنوتیپ‌ها، تکمیل‌کننده اطلاعات فوتیبی در پیشبرد اصلاح جمعیت‌هاست. بنابراین، آگاهی از تنوع ژنتیکی و مدیریت منابع ژنتیکی به عنوان اجزاء مهم برنامه‌های بهنژادی کلزا تلقی می‌شود (۱۸).

تنوع ژنتیکی را می‌توان با روش‌های مختلف و با مطالعه ویژگی‌های متفاوت بررسی کرد که از جمله آن‌ها می‌توان به بررسی صفات موافلولوژیک، آناتومیک، نشانگرهای بیوشیمیای و نشانگرهای DNA (مانند نشانگرهای AFLP، RFLP و SSR) و RAPD (۱). نشانگرهای ریزماهواره، جزو نشانگرهای مبتنی بر واکنش زنجیره‌ای پلیمراز بوده و دارای کاربردهای فراوانی در مطالعات رده‌بندی، بررسی تنوع ژنتیکی و تهیه نقشه‌های پیوستگی در گونه‌های مختلف می‌باشد (۲۳). نشانگرهای SSR به طور گسترده‌ای در بررسی تنوع ژنتیکی ارقام و لاین‌های مختلف کلزا مورد استفاده قرار گرفته‌اند (۱۰، ۲۰، ۲۸). نشانگرهای SSR شامل واحدهای یکتا شش‌تایی تکرار شونده‌اند که در ژنوم بیشتر یوکاریوت‌ها پراکنده‌اند به طوری در هر ۱۰۰۰۰ جفت باز در طول DNA دست کم یک ردیف ریزماهواره با دو ردیف منحصر به‌فرد در

مقدمه
Oilseed با نامهای "Canola" و "Rapeseed" و "rape"، سال‌های زیادی است که در صنعت و صنایع غذایی کاربرد دارد. در واقع ژنوتیپ‌های "Canola" طبقه‌بندی خاصی از "Rapeseed" می‌باشند که دارای مقدار اسید اروپسیک کمتر از ۲ درصد و میزان پایین گلوكوزینولات در کنجاله (کمتر از ۳۰ میکرومول در هر گرم ماده خشک کنجاله) و کیفیت روغن بالا می‌باشند (۹).

یکی از مهم‌ترین استراتژی‌ها برای افزایش تولید، کاهش خسارت‌های ناشی از تنش‌های زیستی و غیرزیستی مانند تنش خشکی، شوری و غیره می‌باشد و این کار از طریق توسعه ارقام زراعی متحمل به این تنش‌ها می‌سرم می‌باشد (۳۹، ۴۰). مانند بیشتر گیاهان زراعی، یکی از اولین کارها در بهبود تحمل به خشکی کلزا بررسی تنوع ژنتیکی بین ارقام و لاین‌های موجود از نظر تحمل به خشکی می‌باشد. بنابراین، آگاهی در مورد تنوع ژنتیکی ارقام و لاین‌های کلزا، اطلاعات مهمی برای اصلاح گران و ژنتیکدانان در زمینه تنوع آللی فراهم می‌کند که ممکن است به شناسایی ذخایر متنوع ژنتیکی برای تلاقی‌های بهتر در جهت تولید ارقام متحمل به خشکی، کمک کند (۹). برآورد تنوع ژنتیکی در گیاهان، نقش بسیار مهمی در پیشبرد برنامه‌های اصلاحی و ژنتیکی از جمله گروه‌بندی لاین‌ها و جمعیت‌ها، مطالعه تکامل خویشاوندان و حرشی، بهبود شجره‌ها، بررسی تغییرات فراوانی آلل‌ها و حفاظت از منابع ژنتیکی دارد (۲۱).

میلی‌مولار، ۱/۵ میکرولیتر پلیمراز با غلظت X، ۱۰٪ میکرولیتر تک پلیمراز با غلظت U ۵٪ و ۵/۸ میکرولیتر آب دobar استریل بود. چرخه حرارتی استفاده شده شامل یک مرحله واسرشته‌سازی اولیه در دمای ۹۴ درجه سانتی‌گراد به مدت ۵ دقیقه و ۳۵ چرخه حرارتی که ۱۰ چرخه اول سیکل حرارتی به صورت Touch Down برنامه‌ریزی شده بود. به این صورت که دمای اتصال آغازگر به رشتہ الگو ۱۰ درجه سانتی‌گراد بالاتر از دمای اتصال واقعی در نظر گرفته شد و در هر چرخه دور اول با کاهش یک درجه دما، به دمای اتصال واقعی رسید. در ۲۵ چرخه بعد دمای اتصال (بسته به دمای اتصال آغازگر متفاوت بود) و زمان آن نیز ثابت و ۳۰ ثانیه بود. در هر چرخه نیز، زمان و دمای واسرشته‌سازی به ترتیب ۳۰ و ۹۴ درجه بود. همچنین دمای بسط رشتہ نیز به ترتیب ۱ دقیقه و ۷۲ درجه بود. برای ظاهرسازی باندها، نمونه‌ها در ژل پلی اکریل آمید ۶ درصد واسرشته شدند و رنگ آمیزی با نیترات نقره انجام شد. جهت تجزیه و تحلیل داده‌ها و برای بدست آوردن اندازه‌آللهای و تعیین انواع آللهای و ژنوتیپ‌ها، از تصاویر ژل استفاده شد. الگوهای نواری بر روی ژل پلی اکریل آمید براساس هم ردیفی نوارها به صورت صفر (عدم وجود نوار) و یک (وجود نوار) امتیازدهی شدند. به این صورت که در هر ردیف آللی به نمونه‌های دارای نوار امتیاز یک و بدون باند امتیاز صفر داده شد. البته با توجه به استفاده از نشانگر وزنی، آلل‌های ریزماهواره به صورت اندازه نیز امتیازدهی شدند تا در برخی از ۳۱۰۰۰ ژنوتیپ از افزارها مورد استفاده قرار گیرد.

تجزیه خوشهای با استفاده از چند روش تجزیه خوشهای انجام شد. در نهایت بهترین گروه‌بندی مربوط به ضریب شباهت نی (۲۴) و روش گروه‌بندی اتصال همسایگی^۱ بود که بالاترین مقادیر ضریب همبستگی کوفتیک را به خود اختصاص داد. دندروگرام مربوطه به صورت Neighbor Net با ضریب فاصله ژنتیکی Uncorrected-P و با ۱۰۰۰ تکرار Split Tree ver4.13.1 Bootstrap و با استفاده از نرم‌افزار GenAlex ver 6.5 بدست آمد. به منظور انتخاب تعداد مطلوب خوشه از تجزیه واریانس مولکولی AMOVA^۲ با استفاده از نرم‌افزار GenAlex استفاده شد. تجزیه به مختصات اصلی (PCoA)^۳ و رسم نمودار دو بعدی با استفاده از نرم‌افزار GenAlex انجام گردید. میزان PIC^۴ از طریق فرمول $PIC = \sum [2p_i]/n$ صورت گرفت (۲۶) که در آن، p_i فراوانی نوارآنام تقسیم بر تعداد ژنوتیپ‌های است و n تعداد نوارهای ایجاد شده بود. همچنین، شاخص‌های نشانگری شامل: شاخص تنوع شانون (I^۵)، متوسط تعداد آلل در هر مکان نی (Ne)^۶، تنوع ژنتیکی نی (He)^۷ نیز با استفاده از نرم‌افزار GenAlex محاسبه شد.

به منظور تجزیه مؤثر ساختار جمعیت و دسته‌بندی دقیق ژنوتیپ‌ها به جمعیت‌های مناسب و تشخیص ژنوتیپ‌های مختلط، تجزیه ساختار جمعیت با استفاده از روش Bayesian و نرم‌افزار Structure انجام شد (۲۶). این روش هر یک از ژنوتیپ‌ها را با یک احتمال و طوری به زیرجمعیت‌های فرضی متناسب می‌کند که در هر زیرجمعیت میزان عدم تعادل

دو طرف آن دیده می‌شود. نشانگرهای SSR مزایایی هم‌چون سرعت بالا، سادگی، پلی‌مورفیسم و پایداری دارند، بنابراین به طور گسترده‌ای از آن‌ها در آنالیزهای تنوع ژنتیکی، نقشه‌یابی، مکان‌یابی ژن، انگشت‌نگاری، آزمایش خلوص ژنتیکی، آنالیز ژرم‌پلاسم، فهمیدن هتروزیس و تفسیر گونه‌ها و معرفی گونه‌های خوب‌شاوند استفاده می‌شود (۲۸،۲۳).

نشانگرهای مولکولی به واسطه مستقل بودن از عوامل محیطی می‌توانند جایگزین مناسبی برای ارزیابی تنوع در گیاهان باشند. روش‌های مبتنی بر واکنش‌های زنجیره‌ای پلی‌مراز (PCR) به دلیل سهولت، هزینه پایین، سرعت و عدم نیاز به کاوشگرهای رادیواکتیو امروزه به طور گسترده‌ای در بررسی تنوع و فاصله ژنتیکی ارقام مختلف گیاهی مورد استفاده قرار می‌گیرند. در سال‌های اخیر از نشانگرهای مولکولی مبتنی بر واکنش PCR به عنوان ابزاری قدرتمندی برای شناسایی چندشکلی، مطالعه تنوع و روابط ژنتیکی در گیاهان استفاده شده است (۱۸،۱۳).

در کلزا مطالعات بسیار محدودی در مورد QTL‌های صفات مرتبط با تحمل به خشکی (۱۴) و همچنین نشانگرهای مرتبط با این QTL‌ها انجام شده است. در حالی که، بیشتر مطالعات در زمینه نقشه‌یابی مکان‌های کنترل‌کننده مقاومت به بیماری‌ها (۴۱)، تعداد روز تا ظهور خورجین (۱۲)، میزان روغن (۲)، محتوای گلوكوزینولات (۱۱)، رنگ بذر (۳۴) و عملکرد و اجزای عملکرد (۳۰،۳) بوده است. هدف از این تحقیق استفاده از نشانگرهای مرتبط با QTL‌های کنترل‌کننده تحمل به خشکی به منظور ارزیابی تنوع و ساختار ژنتیکی جمعیت و نیز گروه‌بندی ارقام و لاین‌های کلزا مورد مطالعه بوده است.

مواد و روش‌ها

این پژوهش در سال‌های ۱۳۹۳-۹۴ در پژوهشکده بیوتکنولوژی و کشاورزی ایران (ABRII) انجام شد. به منظور اجرای این تحقیق یک جمعیت شامل ۱۹ ژنوتیپ هیرید و آزاد گردهافشان، ۱۷ لاین امیدبخش و ۵ لاین هاپلولئید مضاعف‌شده کلزا از موسسه اصلاح و تهیه نهال و بذر کشور تهیه شد (جدول ۲). استخراج DNA ژنومی به روش دل‌پورتا تغییریافته (۵) انجام شد. کمیت و کیفیت DNA استخراجی نیز با استفاده از الکتروفورز ژل آگارز یک درصد و روش طیف سنجی نانورداپ تعیین گردید.

تعداد ۳۶ نشانگر ریزماهواره مورد استفاده در این پژوهش شامل نشانگرهایی بودند که توسط لی و همکاران (۱۴) جهت مکان‌یابی QTL‌های کنترل‌کننده ارتفاع بوته، وزن خشک اندام هوایی، وزن خشک ریشه و وزن خشک کل در شرایط تنش خشکی معرفی شده بودند (جدول ۱).

برای انجام واکنش زنجیره‌ای پلیمراز، نمونه‌های DNA به غلظت ۲۵ نانوگرم در میکرولیتر رقیق شدند. واکنش زنجیره‌ای پلیمراز در حجم ۱۵ میکرولیتر شامل ۲ میکرولیتر DNA ژنومی در حجم ۱۰ نانوگرم در میکرولیتر ۱/۵ dNTPs میکرولیتر آغازگر با غلظت U ۱۰٪ میکرولیتر MgCl₂ با غلظت ۲۵ میلی‌مولار، ۱/۲ میکرولیتر ۱- Neighbor Joining
3- Principle co-ordinate analysis
5- Shannon's Information index
7- Nei's (1973) gene diversity

2- Analysis of Molecular Variance

4- Polymorphism Information Content

6- Effective number of alleles

K (تعداد واقعی زیرجمعیت) یک ماتریس به نام Qst را بدست می‌دهد. این ماتریس شامل برآورد ضرایب احتمال عضویت هر ژنوتیپ در هر یک از زیرجمعیت‌ها است. تعداد واقعی زیرجمعیت براساس روش ایوانو و همکاران (۷) تعیین شد. این روش بر آماره K استوار است که شبیه تابع احتمالی را در نقطه‌ای می‌شکند که تعداد K فرضی در آن نقطه دارای حداکثر احتمال باشد.

پیوستگی حداقل و تعادل مرحله گامتی حداکثر باشد. در این تحقیق، بین ۱ تا ۱۰ زیرجمعیت فرضی اولیه در نظر گرفته شد و جهت افزایش دقت برای هر کدام از زیرجمعیت‌ها سه تکرار منظور گردید. برای این منظور از مدل ترکیبی Admixture و استقلال فراوانی آللی با ۵۰۰۰ اجرا در زمان ۵۰۰۰ جایگشت استفاده شد تا منحنی حداکثر درستنمایی حاصل شود. نرم‌افزار Structure برای هر مقدار

جدول ۱- مشخصات نشانگرهای SSR و توالی آن‌ها

Table 1. Characteristic of SSR primers and its sequencing

منبع	مکان نشانگر (سانتری مورغان)	گروه کروموزومی	توالی نشانگر معکوس	توالی نشانگر جلو رووند	نشانگر
۱۵	۵۱/۶	C5	TGCATAAGCTCGAAGAGACG	CACGAACGGAGAGAGAGAG	OI10-B02
۲۴	۵۰/۰	A1	ATGCAAGCTTAGACAGAGATT	CCAGACTCCGATAAAACC	BRAS041
۲۴	۳۶/۹	A1	TTTCCTTCTACGCTACCCAC	ATTGGGTTCTGACCTTTCTC	BRAS084
۲۴	۲۹/۹	C6	TCTGTTGTTCTCTCGCC	CTGATGGACTAGGACCCC	CB10234
۲۴	۱۲/۶	A1	AACACTGCTCCTTCCCT	AAGCGCGATAACTACAC	CB10597
۱۶	۶/۶	A5	TGTGACGCATCCGATCATAC	TCGCGCATGTAATCAAATC	Na10E02b
۳۲	۱۵/۴	A7	CATGGCAAGGGGTAACAAACAT	GGTCCATTCTTTGCATCTG	BRMS-036
۲۴	-	A1	ACCTCATTGTCGATGAT	AATTAAACCTCATTCTTC	BRAS074a
۲۴	۲۲۰/۴	A3	CATTGGTTGGTGAATTGACAG	AACACTGCAACTTCATTTCC	Na12-A08a
۲۴	۳۹/۵	A1	GTGTCAGTGGCTACAGAGAC	AAGGACTCATCGTCAATCC	OI12-F11a
۲۴	۲۸/۱	C6	TTCTCTTCCACCAACCA	ACTCGCGGTTAGAGAAT	CB10526
۲۴	۱۸/۷	C3	TTTGTCGCCACTGGTTTC	GGAAACTAGGGTTTCCCTTC	Na10-C01f
۲۴	۱۲/۷	C3	ACGGTGCGGAATCTCAACG	AAATGGGTACAGCCGAGAA	CB10003b
۷	۹/۵	C9	TTCTTCACTTCACAGGCACG	TCCGAACACTCTAAGTTAGCTCC	OI11-H06
۲۴	۴۲/۶	C3	AATGGCAAAGTTATTCTACCC	AACACAACCACCAAC	FITO133
۱۵	۱۶۲/۶	C2	AGGATGAGCAAAGGAAAGCA	ATCCCCAAACTACCCCTACC	SR94102
۱۵	۱۹/۸	C5	CGTTCAAGAAGACACAGATCAA	CGTGGGCCAAGCTTAGATTA	sORF73b
۲۴	۲۷/۵	A1	GGCTTACCAACCACACTCGC	CTCCCACCGTTTACCTCT	BRAS100
۲۴	۲۷/۷	A1	GATCACCATCTGCACCAT	CACAGCTTACCCAATCG	CB10159b
۲۴	۸۷/۱	A1	TTGGGAGAGAAAATCTACG	GGCTTCTAGCACTGTGATCCT	CB10081c
۱۶	-	A3	TTCCCTTATTGAGCAAGCTG	TCCCCGGTCTAGATATTG	Na14-096
۲۴	۳۵/۵	A5	GCCATCTACACATTATCCC	CACTAACCTCTTGTACCGT	BRAS072a
۲۴	۱۷۴/۴	C2	TTGCACCCATACGTTTC	CATGGGAGGCTGCTAAA	CB10143
۱۶	۶/۶	A5	TGTGACGCATCCGATCATAC	TCGCGCATGTAATCAAATC	NA10-E02b
۳۲	۴۴/۲	A5	CATGGCAAGGGGTAACAAACAT	GGTCCATTCTTTGCATCTG	BRMS030
۳۲	۲۷/۵	A1	GATGCACTGGGACCACTTACATT	TGCCACCAATGACAATGACACTATC	BRMS-031
۳۲	۲۷/۵	A1	CAGCCTCCACCACTTATTCT	TGAATTGAAAGGCATAAGCA	BRMS-024
۳۵	۵۷/۵	A1	TGAAGAAGGATTGAAGCTGTTG	AGTCGAGATCTCGTCTGCTCCC	BRMS-096
۳۲	۴۴/۲	C5	AAGGTCTCATACGATGGGAGTG	TCAGCCTACCAACGAGTCATAA	BRMS-030
۲۴	۲۸/۱	C6	TTGAAGAGTGGGGATTCA	GGTAGCTCTCCCTTC	CB10502
۲۴	۴۰/۹	C6	TTATCTTGAATGAGCATCT	ACCCCTGTTCTCTACTAT	CB10010
۲۴	۲۱/۸	A9	TCAGAACCGACTGTAGTCT	CGCTACTCCGCTGATACTTT	MR013c
۱۳	۱۷۲/۷	C2	GAACTTGCAAGCTGCAATT	TCGACATGGATTCTACCAA	Pmr52
۳۵	۱۴/۲	A8	CCTGCAGGATATTGAAGACC	CAAATATCCGTACGGAGC	Na12-B05
۲۴	۶۵/۴	C8	GGTGTCCAACTGTTGAA	CATTGGCATAGGAACAGG	CB10504
۱۶	۴۱/۳	C4	TTACTATCCCCCTCTCCGCAC	GCGGATTATGATGACGCAG	NA14-E08a

جدول ۲- نام لاین‌ها و ژنوتیپ‌های مورد بررسی و مناطق آن‌ها

Table 2. Lines and genotypes name and its origin

نام ژنوتیپ	نوع ژنوتیپ	Origin	نام ژنوتیپ	نوع ژنوتیپ	Origin
L1013	لاین خالص	ایران	SLM046	رقم آزاد گردآفشن	المان
Lilian	رقم هیبرید	فرانسه	Oase	رقم هیبرید	فرانسه
Cooper	رقم هیبرید	المان	Karaj 1	لاین خالص	ایران
Adriana	رقم هیبرید	المان	Ahmadi	رقم آزاد گردآفشن	ایران
Tassilo	رقم هیبرید	المان	Okapi	رقم آزاد گردآفشن	فرانسه
Karun	رقم هیبرید	المان	L938	لاین خالص	ایران
Zarfam	رقم آزاد گردآفشن	ایران	L941	لاین خالص	ایران
Karaj 2	لاین خالص	ایران	L942	لاین خالص	ایران
Opera	رقم آزاد گردآفشن	سوئد	L944	لاین خالص	ایران
Orient	رقم آزاد گردآفشن	المان	L945	لاین خالص	ایران
Sarigol	رقم آزاد گردآفشن	المان	L955	لاین خالص	ایران
Licord	رقم آزاد گردآفشن	المان	L957	لاین خالص	ایران
Talaye	رقم آزاد گردآفشن	المان	L963	لاین خالص	ایران
Hyola420	رقم هیبرید	استرالیا	L969	لاین خالص	ایران
Hyola401	رقم هیبرید	استرالیا	L996	لاین خالص	ایران
DH1	لاین خالص (دابل هاپلوید)	ایران	L1003	لاین خالص	ایران
DH5	لاین خالص (دابل هاپلوید)	ایران	L1008	لاین خالص	ایران
DH8	لاین خالص (دابل هاپلوید)	ایران	L1009	لاین خالص	ایران
DH9	لاین خالص (دابل هاپلوید)	ایران	L1010	لاین خالص	ایران
DH11	لاین خالص (دابل هاپلوید)	ایران	L1011	لاین خالص	ایران
			L1012	لاین خالص	ایران

نتایج و بحث

شاخص PIC برابر با ۰/۲۱۲ بود. محتوای اطلاعات چندشکلی در حقیقت احتمال جداسازی چندشکلی را توسط یک ترکیب نشانگر، بین دو ژنوتیپ تصادفی را اندازه‌گیری می‌کند. حداکثر مقدار این شاخص برای نشانگر هم باری یک و برای نشانگر غالب برابر ۰/۵ است (۲۷). توری و همکاران (۳۸)، در بررسی تنوع ژنتیکی سه گونه جنس براسیکا با استفاده از نشانگرهای SSR متوسط میزان شاخص PIC را ۰/۴۶ بروارد کردند.

در رویش نیا و همکاران (۴) تغییرات PIC را از ۰/۱۵ در

آغازگر OI10D08 تا ۰/۳۳۸ در آغازگر Na10B12 گزارش

کردند. میزان شاخص PIC به عوامل متعددی مانند تعداد آلل

در هر جایگاه، فراوانی آلل‌ها، محتوای نوکلوتیدهای G و T در

نواحی تکرار شده و تعداد ژنوتیپ وابسته می‌باشد (۲۹).

در این تحقیق به احتمال زیاد تعداد آلل در هر جایگاه، بیشترین

نشانگر را در میزان شاخص PIC داشته است.

از میان نشانگرهای مورد بررسی، نشانگرهای BRAS04

CB10504، CB10234، CB105072، BRAS072

و BRMS-030 به ترتیب بیشترین تعداد آلل مؤثر در هر مکان

زنی، تنوع زنی نی و شاخص تنوع شانون را نشان دادند و

نشانگرهای CB10003، OI10-B02 و OI10-B02 نیز کمترین این

مقادیر را به خود اختصاص دادند (جدول ۳). بالاتر بودن تعداد

آلل مؤثر در هر مکان زنی، تنوع زنی نی (۲۴) و شاخص تنوع

شانون (۳۲) بیانگر قدرت بالای تفکیک و تمایز این نشانگرهای

در بین ارقام می‌باشد. همچنین، براساس نتایج بدست آمده

جمعیت ارقام هیبرید بالاترین تعداد آلل مؤثر در هر مکان

زنی، تنوع زنی نی و شاخص تنوع شانون را نشان دادند که

بالا بودن این شاخص‌ها در جمعیت ارقام هیبرید بیان گر وجود

تنوع بالای در آن‌ها می‌باشد. از طرفی جمعیت لاین‌های

هاپلوئید مضاعف شده کمترین مقدار این شاخص‌ها را به خود

اختصاص دادند که با توجه به طبیعت کاملاً خالص این

لاین‌ها این نتایج دور از انتظار نبود. در تحقیق حاضر

نشانگرهای CB10504، BRAS072، BRAS04

اطلاعات مربوط به نوارهای حاصل از تکثیر نشانگرهای SSR در جدول ۳ نشان داده شده است. از تعداد ۳۶ (جفت آغازگر) نشانگر مورد استفاده، در مجموع ۱۶۴ نوار حاصل شد که از این تعداد ۱۵۷ نوار چندشکل بودند. اغلب نشانگرهای چندشکلی بالایی را نشان دادند به طوری که متوسط درصد چندشکلی برای نشانگرهای مورد مطالعه برابر با ۹۶/۲۹ درصد بود. تعداد کل نوارهای تکثیرشده برای هر نشانگر از ۲ تا ۱۰ نوار متغیر بود و به طور متوسط ۴/۴۹ نوار به ازای هر نشانگر تکثیر شد. در مطالعه‌ای که به منظور بررسی تنوع ژنتیکی ارقام کلزا با استفاده از نشانگرهای ریزماهواره صورت گرفت، در مجموع ۱۴۳ آلل با متوسط آللی ۱۱/۹۲ به ازای هر نشانگر مشاهده شد (۱۹). در تحقیق ما، پایین بودن تعداد نوار به ازای هر نشانگر، احتمالاً به دلیل محدودیت در انتخاب نشانگرهای SSR و تعداد کم جمعیت بوده است. چون همان‌طور که قبلاً توضیح داده شد نشانگرها براساس ارتباط با QTL‌های تحمل به خشکی انتخاب شده‌اند و نه بر اساس میزان بالای چندشکلی. بنابراین این میزان پایین بودن چندشکلی نسبت به سایر تحقیقات دیگر طبیعی است.

نشانگر Na12-B05 در گروه کروموزومی A8 با تعداد ۱۰ نوار چندشکل، بیشترین چندشکلی را نشان داد. تولید نوار زیاد و درصد چندشکلی بالا حاکی از کارایی این نشانگر در آشکارسازی تنوع بین ژنوتیپ‌ها و لاین‌های مورد بررسی بود (جدول ۳). نتایج تحقیق ما در توافق نسبی با یافته‌های سایر محققان بود (۴، ۳۳، ۲۸، ۲۰).

محتوای اطلاعات چندشکلی (PIC) برای هر نشانگر در جدول ۳ آورده شده است. مطابق با نتایج بدست آمده دامنه PIC از ۰/۰۴۶ تا ۰/۳۲۷ متفاوت بود که بیشترین میزان PIC مربوط به نشانگرهای BRAS041، BRMS-024، CB10143 و sORF73 و کمترین آن مربوط به نشانگرهای pMR52 و FITO133 و OI10-B02 بود. متوسط میزان

نشان داد که واریانس بین و درون جمعیت‌ها معنی‌دار است. با توجه به میانگین درجه تمایز ژنی، ۱۶ درصد از تنوع کل مربوط به تنوع بین جمعیت و ۸۴ درصد آن مربوط به تنوع درون جمعیت‌ها بوده که این مطلب نشان داد که درون هر جمعیت تنوع قابل ملاحظه‌ای وجود داشته است.

NA10-E02 و CB10234 BRMS-030 نشانگرهای به کار برده، توانستند فاصله ژنتیکی ارقام و لاین‌های مورد بررسی را مشخص کنند. همان‌طور که پیش‌تر بیان شد جمعیت مورد بررسی شامل ۱۹ ژنوتیپ هیبرید، ۱۷ لاین امیدبخش و ۵ لاین هاپلوئید مضاعف شده بود. نتایج تجزیه واریانس مولکولی (جدول ۴)

جدول ۳- شاخص‌های مختلف تنوع ژنتیکی نشانگرهای مورد بررسی در ۴۱ لاین و ژنوتیپ کلزا

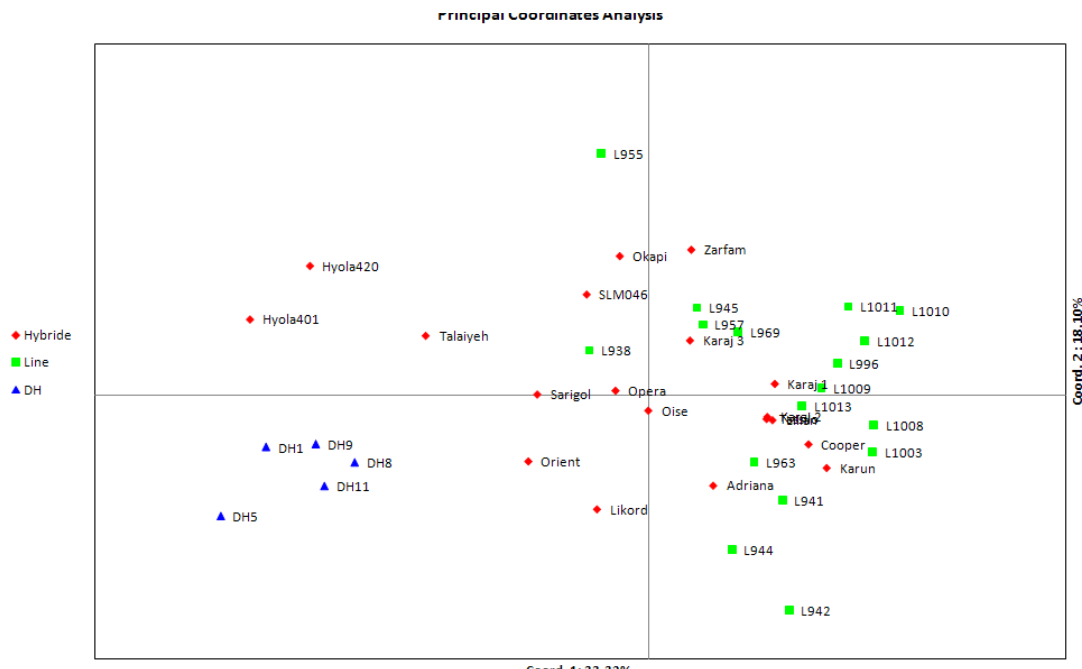
Table 3. Genetic diversity different indices of primers under study in 41 canola lines and genotypes

نشانگر	تعداد آلل	تعداد نوارهای چندشکل (%)	تعداد نوارهای چندشکل	PIC	فراوانی نوار	Pi	Ne	I	He
OI10-B02	۳	۲	۶۷	۰/۰۶۹	۰/۳۷۴	۰/۳۵۴	۱/۰۴۳	۰/۰۸۸	۰/۰۴۰
BRAS041	۳	۳	۱۰۰	۰/۳۱۷	۰/۷۲۴	۰/۴۷۶	۱/۹۸۲	۰/۶۸۹	۰/۴۹۶
BRAS084	۲	۲	۱۰۰	۰/۱۹۸	۰/۸۱۷	۰/۶۳۰	۱/۶۵۱	۰/۰۵۶	۰/۳۷۵
CB10234	۶	۶	۱۰۰	۰/۲۱۶	۰/۳۲۱	۰/۲۰۳	۱/۳۸۳	۰/۳۶۸	۰/۲۲۶
CB10597	۳	۳	۱۰۰	۰/۲۷۳	۰/۷۳۳	۰/۵۷	۱/۸۳۴	۰/۶۴۱	۰/۴۵۰
Na10E02b	۳	۳	۱۰۰	۰/۱۳۶	۰/۱۰۶	۰/۰۵۶	۱/۷۲۶	۰/۱۸۲	۰/۰۹۹
BRMS-036	۷	۷	۱۰۰	۰/۲۴۱	۰/۵۷۱	۰/۴۱۳	۱/۵۸۸	۰/۴۸۶	۰/۳۱۷
BRAS074a	۳	۳	۱۰۰	۰/۲۱۸	۰/۱۴۶	۰/۰۷۶	۱/۱۶۴	۰/۲۶۸	۰/۱۴۰
Na12-A08a	۵	۵	۱۰۰	۰/۲۲۱	۰/۳۷۶	۰/۲۴۶	۱/۴۳۳	۰/۴۰۱	۰/۲۵۹
OI12-F11a	۳	۳	۱۰۰	۰/۲۲۹	۰/۱۹۵	۰/۱۰۵	۱/۳۴۰	۰/۳۰۵	۰/۱۷۹
CB10526	۴	۴	۱۰۰	۰/۱۸۷	۰/۵۳۰	۰/۳۸۵	۱/۴۹۰	۰/۴۴۱	۰/۲۹۲
Na10-C01f	۸	۵	۶۷/۵	۰/۲۱۰	۰/۱۸۹	۰/۷۶۸	۱/۴۵۷	۰/۳۷۹	۰/۲۶۱
CB10003b	۴	۲	۵۰	۰/۲۱۹	۰/۵۳۸	۰/۰۷۸	۱/۰۸۲	۰/۱۳۵	۰/۰۷۰
OI11-H06	۳	۳	۱۰۰	۰/۲۰۹	۰/۴۲۳	۰/۲۸۸	۱/۴۴۲	۰/۴۱۶	۰/۲۷۰
FITO133	۲	۲	۱۰۰	۰/۰۴۶	۰/۹۷۶	۰/۸۴۴	۱/۳۵۸	۰/۴۳۳	۰/۲۶۴
SR94102	۵	۵	۱۰۰	۰/۲۹۰	۰/۴۱۵	۰/۲۵۲	۱/۰۵۷	۰/۴۸۷	۰/۳۲۵
sORF73b	۶	۶	۱۰۰	۰/۳۰۱	۰/۳۹۰	۰/۲۳۵	۱/۰۵۸	۰/۴۷۷	۰/۳۱۱
BRAS100	۶	۶	۱۰۰	۰/۱۵۴	۰/۷۳۲	۰/۵۶۰	۱/۶۹	۰/۵۰۵	۰/۳۴۳
CB10159b	۹	۹	۱۰۰	۰/۲۵۱	۰/۵۴۲	۰/۳۷۵	۱/۵۷۳	۰/۵۴۴	۰/۳۳۴
CB10081c	۶	۶	۱۰۰	۰/۲۳۱	۰/۳۷۴	۰/۲۴۰	۱/۴۵۹	۰/۴۱۱	۰/۲۵۷
Na14-096	۳	۳	۱۰۰	۰/۱۶۱	۰/۶۶۷	۰/۵۷۹	۱/۲۸۶	۰/۲۷۳	۰/۱۷۵
BRAS072a	۶	۶	۱۰۰	۰/۲۴۸	۰/۷۹۳	۰/۵۶۳	۱/۸۵۸	۰/۶۵۲	۰/۴۶۰
CB10143	۲	۲	۱۰۰	۰/۳۰۸	۰/۲۵۶	۰/۱۳۸	۱/۳۱۱	۰/۴۰۰	۰/۲۲۷
NA10-E02b	۲	۲	۱۰۰	۰/۲۶۴	۰/۷۴۴	۰/۵۲۲	۱/۸۰	۰/۶۳۶	۰/۴۴۴
BRMS030	۶	۵	۸۲/۳	۰/۲۲۹	۰/۷۲۰	۰/۵۶۵	۱/۵۶۳	۰/۴۵۳	۰/۳۰۹
BRMS-031	۳	۳	۱۰۰	۰/۲۲۷	۰/۳۳۳	۰/۲۱۱	۱/۴۲۳	۰/۳۸۷	۰/۲۴۵
BRMS-024	۳	۳	۱۰۰	۰/۳۲۷	۰/۴۲۳	۰/۲۵۰	۱/۵۸۸	۰/۵۲۰	۰/۳۳۶
BRMS-096	۳	۳	۱۰۰	۰/۱۴۵	۰/۷۱۰	۰/۷۱۰	۱/۶۲۷	۰/۵۵۱	۰/۳۶۹
BRMS-030	۳	۳	۱۰۰	۰/۲۰۵	۰/۶۲۳	۰/۶۲۳	۱/۱۸۹	۰/۶۳۲	۰/۴۴۲
CB10502	۲	۲	۱۰۰	۰/۱۲۶	۰/۷۲۹	۰/۶۵۲	۱/۶۵۲	۰/۵۸۴	۰/۳۹۵
CB10010	۸	۸	۱۰۰	۰/۱۶۹	۰/۰۹۱	۰/۰۹۱	۱/۲۰۹	۰/۱۲۲	۰/۱۴۲
MR013c	۶	۶	۱۰۰	۰/۲۲۷	۰/۴۵۲	۰/۴۵۲	۱/۵۷۱	۰/۵۱۳	۰/۱۳۰
Pmr52	۳	۳	۱۰۰	۰/۰۷۶	۰/۵۲۴	۰/۵۲۴	۱/۳۵۸	۰/۳۷۴	۰/۲۲۸
Na12-B05	۱۰	۱۰	۱۰۰	۰/۲۱۲	۰/۵۴۲	۰/۵۴۲	۱/۶۳۳	۰/۵۵۸	۰/۳۷۵
CB10504	۶	۶	۱۰۰	۰/۲۳۷	۰/۵۸۲	۰/۵۸۲	۱/۸۴۶	۰/۶۴۵	۰/۴۵۴
NA14-E08a	۷	۷	۱۰۰	۰/۲۴۰	۰/۴۷۱	۰/۴۷۱	۱/۶۴۸	۰/۵۵۸	۰/۳۷۶
مجموع میانگین	۱۶۴	۱۵۷	—	—	—	—	—	—	—
جمعیت	۴/۴۸۶	۴/۲۴۳	۴/۲۴۳	۹۶/۲۹	۰/۲۱۲	—	—	—	—
ارقام هیبرید	—	—	—	—	—	—	—	—	—
لاین امیدبخش	—	—	—	—	—	—	—	—	—
لاین‌های دابل	—	—	—	—	—	—	—	—	—
هاپلوئید	—	—	—	—	—	—	—	—	—

PIC: محتوای اطلاعات چند شکلی؛ P: فراوانی آلل غالب؛ Ne: تعداد آلل مؤثر در هر مکان ژنی؛ He: تنوع ژنی نی

بودن نسبی مقدار واریانس دو بردار اصلی اول (۰/۵۱/۴۲٪) احتمالاً به این دلیل می‌باشد که انتخاب نشانگرهای با محدودیت زیادی صورت گرفته است و تنها نشانگرهایی که ارتباط معنی‌داری با QTL‌های تحمل به خشکی داشته‌اند انتخاب شده‌اند.

در تجزیه به مختصات اصلی دو بردار اصلی اول (۰/۴۲/۴۱٪) درصد واریانس کل داده‌ها را توجیه نمودند و نمودار دو بعدی براساس این دو مؤلفه ترسیم گردید و ارقام و لاین‌ها را به سه گروه تقسیم شدند (شکل ۱). به طوری که، لاین‌های هاپلوئید مضاعف شده در یک گروه مجزا قرار گرفتند ولی کمی تداخل بین ارقام هیبرید و لاین‌های امیدبخش وجود داشت. بالا



شکل ۱- نمودار دو بعدی تجزیه به مختصات اصلی براساس دو بردار اول در سه جمعیت ارقام آزاد گردهافشان و هیبرید، لاین‌های امیدبخش و لاین‌های هاپلوئید مضاعف شده کلزا

Figure 1. Two-dimensional plot of main coordinate's analysis on the first two coordinates in three populations including canola open-pollinated and hybrid cultivars, promising lines and double haploid lines

جدول ۴- تجزیه واریانس مولکولی براساس داده‌های SSR در ۴۱ لاین و رقم کلزا

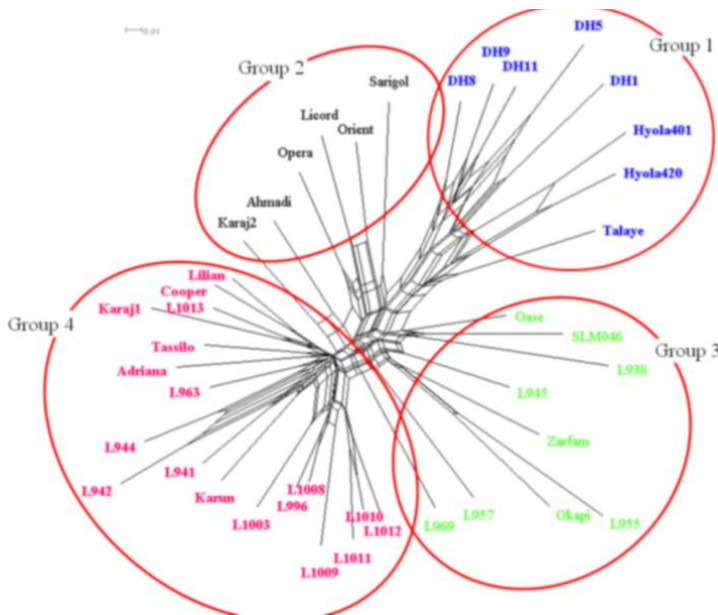
Table 4. Molecular variance analysis based on SSR data in 41 canola lines and genotypes

منابع تغییرات	درجه آزادی	میانگین مریبات	اجزاء واریانس	درصد واریانس
بین جمعیت	۲	۶۳/۲۸۴**	L955	۳/۵۹۹
دون جمعیت	۳۸	۱۹/۱۲۵**	Hyola420	۱۹/۱۲۵

**: معنی‌دار در سطح احتمال ۰/۰۱

برای بررسی ضریب تشابه ژنتیکی بین ارقام و لاین‌های مورد بررسی از خوشبندی شبکه‌ای براساس روش Net Neighbor استفاده شد (شکل ۲). با توجه به نتایج حاصل از خوشبندی شبکه‌ای، مشاهده شد که ارقام و لاین‌ها به چهار گروه تقسیم شدند. گروه ۱ شامل لاین‌های هاپلوئید مضاعف شده و ژنوتیپ‌های Hyola420 و Hyola401 باشند. گروه ۲ شامل ارقام Tassilo (رقم پاییزه) و Talaye (رقم پاییزه) باشند. گروه ۳ شامل ارقام زیرگروه اول و Sarigol، Licord، Orient، Opera، Likord، Tassilo، Karaj 2 و Ahmadi باشند. گروه ۴ شامل ارقام زیرگروه دوم قرار گرفتند. گروه ۵ شامل ژنوتیپ‌های Oase، SLM046، L955، L945، L947، L938، Okapi، Zarfarm و لاین‌های L969 باشند. گروه ۶ شامل ارقام زیرگروه سوم چهارم باشند. گروه ۷ شامل ارقام زیرگروه ششم باشند. گروه ۸ شامل ارقام زیرگروه هفتم باشند. گروه ۹ شامل ارقام زیرگروه هشتم باشند. گروه ۱۰ شامل ارقام زیرگروه نهم باشند. گروه ۱۱ شامل ارقام زیرگروه دهم باشند. گروه ۱۲ شامل ارقام زیرگروه یازدهم باشند. گروه ۱۳ شامل ارقام زیرگروه یازدهم باشند. گروه ۱۴ شامل ارقام زیرگروه یازدهم باشند. گروه ۱۵ شامل ارقام زیرگروه یازدهم باشند. گروه ۱۶ شامل ارقام زیرگروه یازدهم باشند. گروه ۱۷ شامل ارقام زیرگروه یازدهم باشند. گروه ۱۸ شامل ارقام زیرگروه یازدهم باشند. گروه ۱۹ شامل ارقام زیرگروه یازدهم باشند. گروه ۲۰ شامل ارقام زیرگروه یازدهم باشند. گروه ۲۱ شامل ارقام زیرگروه یازدهم باشند. گروه ۲۲ شامل ارقام زیرگروه یازدهم باشند. گروه ۲۳ شامل ارقام زیرگروه یازدهم باشند. گروه ۲۴ شامل ارقام زیرگروه یازدهم باشند. گروه ۲۵ شامل ارقام زیرگروه یازدهم باشند. گروه ۲۶ شامل ارقام زیرگروه یازدهم باشند. گروه ۲۷ شامل ارقام زیرگروه یازدهم باشند. گروه ۲۸ شامل ارقام زیرگروه یازدهم باشند. گروه ۲۹ شامل ارقام زیرگروه یازدهم باشند. گروه ۳۰ شامل ارقام زیرگروه یازدهم باشند. گروه ۳۱ شامل ارقام زیرگروه یازدهم باشند. گروه ۳۲ شامل ارقام زیرگروه یازدهم باشند. گروه ۳۳ شامل ارقام زیرگروه یازدهم باشند. گروه ۳۴ شامل ارقام زیرگروه یازدهم باشند. گروه ۳۵ شامل ارقام زیرگروه یازدهم باشند. گروه ۳۶ شامل ارقام زیرگروه یازدهم باشند. گروه ۳۷ شامل ارقام زیرگروه یازدهم باشند. گروه ۳۸ شامل ارقام زیرگروه یازدهم باشند. گروه ۳۹ شامل ارقام زیرگروه یازدهم باشند. گروه ۴۰ شامل ارقام زیرگروه یازدهم باشند. گروه ۴۱ شامل ارقام زیرگروه یازدهم باشند.

برای بررسی ضریب تشابه ژنتیکی بین ارقام و لاین‌های همچنین، نتایج خوشبندی شبکه‌ای (شکل ۲) با نتایج تجزیه به مختصات اصلی (شکل ۱) تطابق نسبی داشت، ولی تمایز شبکه‌ای مشخص نبود. ژنوتیپ‌ها در برنامه‌های اصلاحی دورگ‌گیری استفاده نمود. همچنین، نتایج خوشبندی شبکه‌ای (شکل ۲) با نتایج تجزیه به مختصات اصلی (شکل ۱) تطابق نسبی داشت، ولی تمایز ژنوتیپ‌ها براساس منشاء ژنتیکی در روشن خوشبندی شبکه‌ای مشخص نبود.



شکل ۲- خوشبندی شبکه‌ای برای ۴۱ لاین و ژنتیپ مورد مطالعه کلزا با استفاده از ۳۶ نشانگر
Figure 2. Network clustering for 41 lines canola lines and genotypes using 36 SSR markers

با توجه به اینکه مقدار حداکثر ΔK در $K=2$ بدهست آمده (شکل ۳) می‌توان گفت که ارقام و لاین‌ها به دو زیرجمعیت، ارقام بهاره و پاییزه تقسیم شده‌اند. ژنتیپ‌های *Talaye*, *Hyola401* و *Hyola420* ها پلوئید مضافع شده در *DH1*, *DH5*, *DH8*, *DH9* و *DH1* در زیرجمعیت اول قرار گرفتند و سایر ارقام و لاین‌های امیدبخش در زیر جمعیت ۲ قرار گرفتند. لاین‌های *L938* و ژنتیپ‌های *Oase*, *Opera*, *Sarigol*, *Ahmad*, *Adriana*, *L963*, *L944*, *L942*, *L941*, *Karun*, *L1003*, *L996*, *L1008*, *L1010*, *L1012*, *L1011*, *L1009*, *L957*, *Okapi*, *L955*, *Zarfam*, *L945*, *SLM046*, *L938*, *L945*, *L957*, *Okapi*, *L955* علاوه بر زیرجمعیت دوم در بخش‌هایی از ژنوم خود با زیرجمعیت اول مشابه داشتند اما با این وجود میزان شباهتشان به زیرجمعیت دوم بیشتر بود. همچنین ژنتیپ‌های *Zarfam*, *Ahmad* و لاین‌های *L957* در بخش کمی از ژنوم خود با زیرجمعیت یک مترک بودند. در مجموع در از بین ۱۹ ژنتیپ $K=2$ درصد در زیر جمعیت یک و $73/7$ درصد در زیر جمعیت دوم قرار گرفتند. از بین ۱۷ لاین امیدبخش $93/7$ درصد در زیر جمعیت دوم قرار گرفتند. همچنین از بین ۵ لاین هاپلوئید مضافع شده، $96/2$ درصد در زیر گروه یک قرار گرفتند. یکسان شدن زیر جمعیت لاین‌های امیدبخش با ارقام و ژنتیپ‌های مورد بررسی و نیز حالت اختلاط آن‌ها ممکن است به دلیل وجود جریان ژنی به ارقام اصلاحی طی انجام برنامه‌های اصلاحی باشد.

دیگر و اسپورن (۶) تنوع ژنتیکی ۸۳ لاین کلزا با منشاء اروپایی، آسیایی، آمریکایی و استرالیا از انواع بهاره و پاییزه را با استفاده از نشانگرهای RFLP بررسی کردند و مشاهده نمودند ارقام و لاین‌ها در دو گروه قرار گرفتند. باس و همکاران (۱) تنوع ژنتیکی ۵۰۹ لاین خالص کلزا را با استفاده از ۸۹ نشانگر SSR بررسی کردند. تجزیه به مختصات اصلی و تجزیه ساختار جمعیت، لاین‌های پاییزه، بهاره و لاین‌های سوتندی در سه گروه مجزا قرار داد. همچنین تنوع لاین‌های پاییزه کلزا کمتر از سایر لاین‌ها بود. چن و همکاران (۳)

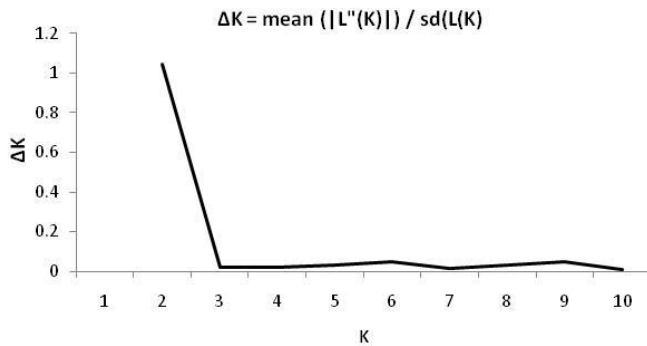
به منظور تجزیه مؤثر ساختار جمعیت و دسته‌بندی دقیق ژنتیپ‌ها به جمعیت‌های مناسب و تشخیص ژنتیپ‌های Bayesian مختلط، تجزیه ساختار جمعیت با استفاده از روش (۳۷) اجرا شد (شکل ۴). در روش تجزیه خوش‌ای با استفاده از روش مبتنی بر مدل، برنامه با فرض اینکه مدل تبار از نوع مخلوط و مدل فراوانی از نوع پیوسته باشد، اجرا شد. همچنین فرض $K=10$ تا $K=1$ اجرا گردید (K نشان‌دهنده تعداد زیر جمعیت است) و سپس برآینای احتمالات ($Ln(PD)$ و ΔK) دست آمده از این مفروضات صحیح‌ترین زیر جمعیت مشخص شد. پایین‌ترین مقدار عددی $Ln(PD)$ و بالاترین مقدار عددی ΔK نشان‌دهنده بهترین معیار برای دسته‌بندی جمعیت مطالعه می‌باشد. بنابراین در این تحقیق با توجه به اینکه مقدار حداکثر ΔK در $K=2$ بدهست آمده (شکل ۳) بنابراین ارقام و لاین‌های مورد بررسی به احتمال بسیار قوی دارای دو زیر جمعیت هستند.

در شکل ۴، هر فرد و کد مربوط به آن به وسیله یک ستون رنگی عمودی نشان داده می‌شود که وجود بیش از یک رنگ، معرف ساختار مختلط ژنتیکی آن فرد یا نشان دهنده شباهت ژنتیکی بین این نمونه با زیر جمعیت‌های دیگر و اختلاط ژنتیکی آن فرد به گروهی تعلق می‌گیرد که بیش‌ترین پهنه‌ی رنگی آن کلاستر را دارا باشد. در کل ژنتیپ‌های در داخل هر کلاستر دارای احتمال عضویت بیش از $70/0$ و به احتمال بیش از 70 درصد به کلاستر خود تعلق دارند (۳۷). بنابراین با توجه به نمودارهای رنگی (زیر جمعیت‌ها با استفاده از رنگ‌های سبز و قرمز مشخص شده‌اند) تجزیه خوش‌ای نمونه‌های زیر جمعیت تا حدودی یکنواخت هستند. البته هر دو زیر جمعیت نمونه‌هایی از اختلاط ژنتیکی شدیدی در بین بسیاری از نمونه‌ها مشاهده نمی‌شود (شکل ۴).

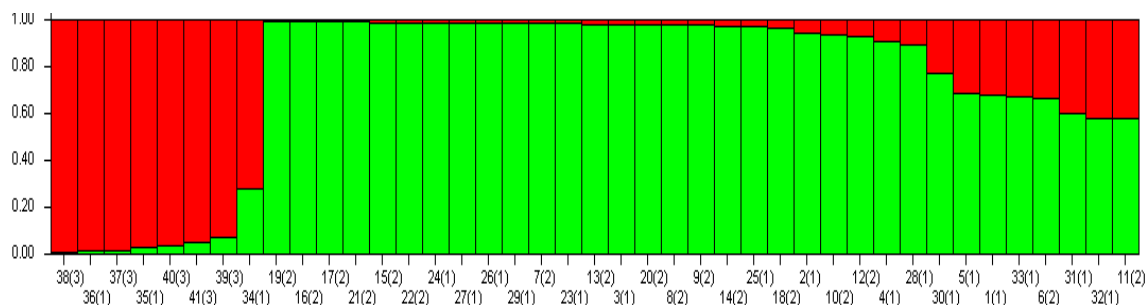
مریبوط به نشانگرهای sORF73، BRMS-024، BRAS041 و CB10143 است. در ارزیابی تجزیه ساختار، ارقام و لاین‌ها به دو زیرجمعیت غالب تقسیم شدند، زیرجمعیت اول شامل ارقام بهاره (ژنوتیپ‌های Hyola401، Talaye، Hyola420) و لاین‌های هاپلotype مضاعف شده (DH1، DH5، DH8 و DH9) و دوم شامل ارقام پاییزه (سایر ارقام و لاین‌ها) بودند. از آنجایی که در این تحقیق، انتخاب نشانگرهای SSR براساس ارتباط آن‌ها با QTL‌های تحمل به خشکی انجام شده بود و با توجه به این که ارقام بهاره نسبت به ارقام پاییزه به خشکی حساس‌تر می‌باشند به‌نظر می‌رسد دسته‌بندی ارقام با استفاده از روش تجزیه ساختار به گروه غالب بهاره و پاییزه خیلی بی‌ارتباط با تحمل به خشکی ارقام و لاین‌ها نباشد. ولی در مجموع، نشانگری پیدا نشد که بتوان از آن به عنوان نشانگری در چهت انتخاب ارقام متholm به خشکی در گام اول برنامه‌های اصلاحی استفاده کرد و این هدف نیاز به تحقیقات بیش‌تر در مورد شناسایی QTL‌های تحمل به خشکی در گیاه کلزا دارد.

الگوی تنوع آلی مریبوط به ۷۲ ژنوتیپ کلزا از استرالیا، چین و لاین‌هایی از هند، اروپا و کانادا را با استفاده از ۵۵ نشانگر SSR بررسی نمودند و مشاهده کردند که ژنوتیپ‌های هندی و ژنوتیپ‌های چینی هر کدام در گروه‌های مجزایی قرار گرفتند. و سایر ژنوتیپ‌ها با منشاء مختلف در گروه سوم قرار گرفتند. حسن و همکاران (۱۰) ساختار ژنتیکی ۹۴ ژنوتیپ کلزا شامل ارقام بهاره، پاییزه و تیپ‌های با مصرف علوفه‌ای و برگی از تمام اقلیم‌ها به جزء آفریقا را بررسی نمودند. نتایج آن‌ها سه گروه غالب را نشان داد. گروه اول شامل ارقام بهاره بودند گروه دوم ارقامی با مصرف علوفه‌ای و برگی قرار داشتند و ارقام پاییزه در گروه سوم قرار گرفتند.

از آنجایی که یکی از اهداف برنامه‌های اصلاحی ایجاد هتروزیس بیش‌تر از طریق دورگ‌گیری بین ارقام با فاصله ژنتیکی بیش‌تر است لذا توصیه می‌شود از ارقام Hyola401 و Talaye و Hyola420 در مقابل با سایر ارقام در برنامه‌های اصلاحی دورگ‌گیری و تولید لاین‌های دبل‌هاپلotype استفاده شود. در مجموع نتایج نشان داد که بیش‌ترین میزان PIC



شکل ۳- نمودار منحنی ΔK جهت تعیین مقدار مطلوب K
Figure 3. Graph of ΔK curve to determine the optimal value K



شکل ۴- گروه‌بندی ژنوتیپ‌های مورد مطالعه براساس ساختار ژنتیکی جمعیت با استفاده از نرم‌افزار STRUCTURE
Figure 4. Genotypes clustering based on population genetic structure using the software STRUCTURE
نام ژنوتیپ‌ها و لاین‌ها : ۱. Okapi : ۲. SLM046 : ۳. Karaj1 : ۴. Oase : ۵. Ahmadi : ۶. L955 : ۷. L957 : ۸. L942 : ۹. L944 : ۱۰. L945 : ۱۱. L941 : ۱۲. L938 : ۱۳. L963 : ۱۴. Adriana : ۱۵. Cooper : ۱۶. L1013 : ۱۷. L1012 : ۱۸. L1008 : ۱۹. L1009 : ۲۰. L1003 : ۲۱. L1010 : ۲۲. L1011 : ۲۳. Lilian : ۲۴. DH1 : ۲۵. DH11 : ۲۶. Hyola401 : ۲۷. Hyola420 : ۲۸. Talaye : ۲۹. Licord : ۳۰. Sarigol : ۳۱. Orient : ۳۲. Karaj2 : ۳۳. Zarfam : ۳۴. Karun : ۳۵. Tassilo : ۳۶. DH8 : ۳۷. DH9 : ۳۸. DH5 : ۳۹. DH2 : ۴۰. DH10 : ۴۱. DH12 : ۴۲. DH13 : ۴۳. DH14 : ۴۴. DH15 : ۴۵. DH16 : ۴۶. DH17 : ۴۷. DH18 : ۴۸. DH19 : ۴۹. DH20 : ۵۰. DH21 : ۵۱. DH22 : ۵۲. DH23 : ۵۳. DH24 : ۵۴. DH25 : ۵۵. DH26 : ۵۶. DH27 : ۵۷. DH28 : ۵۸. DH29 : ۵۹. DH30 : ۶۰. DH31 : ۶۱. DH32 : ۶۲. DH33 : ۶۳. DH34 : ۶۴. DH35 : ۶۵. DH36 : ۶۶. DH37 : ۶۷. DH38 : ۶۸. DH39 : ۶۹. DH40 : ۷۰. DH41 : ۷۱. DH42 : ۷۲. DH43 : ۷۳. DH44 : ۷۴. DH45 : ۷۵. DH46 : ۷۶. DH47 : ۷۷. DH48 : ۷۸. DH49 : ۷۹. DH50 : ۸۰. DH51 : ۸۱. DH52 : ۸۲. DH53 : ۸۳. DH54 : ۸۴. DH55 : ۸۵. DH56 : ۸۶. DH57 : ۸۷. DH58 : ۸۸. DH59 : ۸۹. DH60 : ۹۰. DH61 : ۹۱. DH62 : ۹۲. DH63 : ۹۳. DH64 : ۹۴. DH65 : ۹۵. DH66 : ۹۶. DH67 : ۹۷. DH68 : ۹۸. DH69 : ۹۹. DH70 : ۱۰۰. DH71 : ۱۰۱. DH72 : ۱۰۲. DH73 : ۱۰۳. DH74 : ۱۰۴. DH75 : ۱۰۵. DH76 : ۱۰۶. DH77 : ۱۰۷. DH78 : ۱۰۸. DH79 : ۱۰۹. DH80 : ۱۱۰. DH81 : ۱۱۱. DH82 : ۱۱۲. DH83 : ۱۱۳. DH84 : ۱۱۴. DH85 : ۱۱۵. DH86 : ۱۱۶. DH87 : ۱۱۷. DH88 : ۱۱۸. DH89 : ۱۱۹. DH90 : ۱۲۰. DH91 : ۱۲۱. DH92 : ۱۲۲. DH93 : ۱۲۳. DH94 : ۱۲۴. DH95 : ۱۲۵. DH96 : ۱۲۶. DH97 : ۱۲۷. DH98 : ۱۲۸. DH99 : ۱۲۹. DH100 : ۱۳۰. DH101 : ۱۳۱. DH102 : ۱۳۲. DH103 : ۱۳۳. DH104 : ۱۳۴. DH105 : ۱۳۵. DH106 : ۱۳۶. DH107 : ۱۳۷. DH108 : ۱۳۸. DH109 : ۱۳۹. DH110 : ۱۴۰. DH111 : ۱۴۱. DH112 : ۱۴۲. DH113 : ۱۴۳. DH114 : ۱۴۴. DH115 : ۱۴۵. DH116 : ۱۴۶. DH117 : ۱۴۷. DH118 : ۱۴۸. DH119 : ۱۴۹. DH120 : ۱۵۰. DH121 : ۱۵۱. DH122 : ۱۵۲. DH123 : ۱۵۳. DH124 : ۱۵۴. DH125 : ۱۵۵. DH126 : ۱۵۶. DH127 : ۱۵۷. DH128 : ۱۵۸. DH129 : ۱۵۹. DH130 : ۱۶۰. DH131 : ۱۶۱. DH132 : ۱۶۲. DH133 : ۱۶۳. DH134 : ۱۶۴. DH135 : ۱۶۵. DH136 : ۱۶۶. DH137 : ۱۶۷. DH138 : ۱۶۸. DH139 : ۱۶۹. DH140 : ۱۷۰. DH141 : ۱۷۱. DH142 : ۱۷۲. DH143 : ۱۷۳. DH144 : ۱۷۴. DH145 : ۱۷۵. DH146 : ۱۷۶. DH147 : ۱۷۷. DH148 : ۱۷۸. DH149 : ۱۷۹. DH150 : ۱۸۰. DH151 : ۱۸۱. DH152 : ۱۸۲. DH153 : ۱۸۳. DH154 : ۱۸۴. DH155 : ۱۸۵. DH156 : ۱۸۶. DH157 : ۱۸۷. DH158 : ۱۸۸. DH159 : ۱۸۹. DH160 : ۱۹۰. DH161 : ۱۹۱. DH162 : ۱۹۲. DH163 : ۱۹۳. DH164 : ۱۹۴. DH165 : ۱۹۵. DH166 : ۱۹۶. DH167 : ۱۹۷. DH168 : ۱۹۸. DH169 : ۱۹۹. DH170 : ۲۰۰. DH171 : ۲۰۱. DH172 : ۲۰۲. DH173 : ۲۰۳. DH174 : ۲۰۴. DH175 : ۲۰۵. DH176 : ۲۰۶. DH177 : ۲۰۷. DH178 : ۲۰۸. DH179 : ۲۰۹. DH180 : ۲۱۰. DH181 : ۲۱۱. DH182 : ۲۱۲. DH183 : ۲۱۳. DH184 : ۲۱۴. DH185 : ۲۱۵. DH186 : ۲۱۶. DH187 : ۲۱۷. DH188 : ۲۱۸. DH189 : ۲۱۹. DH190 : ۲۲۰. DH191 : ۲۲۱. DH192 : ۲۲۲. DH193 : ۲۲۳. DH194 : ۲۲۴. DH195 : ۲۲۵. DH196 : ۲۲۶. DH197 : ۲۲۷. DH198 : ۲۲۸. DH199 : ۲۲۹. DH20۰ : ۲۳۰. DH20۱ : ۲۳۱. DH20۲ : ۲۳۲. DH20۳ : ۲۳۳. DH20۴ : ۲۳۴. DH20۵ : ۲۳۵. DH20۶ : ۲۳۶. DH20۷ : ۲۳۷. DH20۸ : ۲۳۸. DH20۹ : ۲۳۹. DH20۱۰ : ۲۴۰. DH20۱۱ : ۲۴۱. DH20۱۲ : ۲۴۲. DH20۱۳ : ۲۴۳. DH20۱۴ : ۲۴۴. DH20۱۵ : ۲۴۵. DH20۱۶ : ۲۴۶. DH20۱۷ : ۲۴۷. DH20۱۸ : ۲۴۸. DH20۱۹ : ۲۴۹. DH20۲۰ : ۲۵۰. DH20۲۱ : ۲۵۱. DH20۲۲ : ۲۵۲. DH20۲۳ : ۲۵۳. DH20۲۴ : ۲۵۴. DH20۲۵ : ۲۵۵. DH20۲۶ : ۲۵۶. DH20۲۷ : ۲۵۷. DH20۲۸ : ۲۵۸. DH20۲۹ : ۲۵۹. DH20۳۰ : ۲۶۰. DH20۳۱ : ۲۶۱. DH20۳۲ : ۲۶۲. DH20۳۳ : ۲۶۳. DH20۳۴ : ۲۶۴. DH20۳۵ : ۲۶۵. DH20۳۶ : ۲۶۶. DH20۳۷ : ۲۶۷. DH20۳۸ : ۲۶۸. DH20۳۹ : ۲۶۹. DH20۴۰ : ۲۷۰. DH20۴۱ : ۲۷۱. DH20۴۲ : ۲۷۲. DH20۴۳ : ۲۷۳. DH20۴۴ : ۲۷۴. DH20۴۵ : ۲۷۵. DH20۴۶ : ۲۷۶. DH20۴۷ : ۲۷۷. DH20۴۸ : ۲۷۸. DH20۴۹ : ۲۷۹. DH20۵۰ : ۲۸۰. DH20۵۱ : ۲۸۱. DH20۵۲ : ۲۸۲. DH20۵۳ : ۲۸۳. DH20۵۴ : ۲۸۴. DH20۵۵ : ۲۸۵. DH20۵۶ : ۲۸۶. DH20۵۷ : ۲۸۷. DH20۵۸ : ۲۸۸. DH20۵۹ : ۲۸۹. DH20۶۰ : ۲۹۰. DH20۶۱ : ۲۹۱. DH20۶۲ : ۲۹۲. DH20۶۳ : ۲۹۳. DH20۶۴ : ۲۹۴. DH20۶۵ : ۲۹۵. DH20۶۶ : ۲۹۶. DH20۶۷ : ۲۹۷. DH20۶۸ : ۲۹۸. DH20۶۹ : ۲۹۹. DH20۷۰ : ۳۰۰. DH20۷۱ : ۳۰۱. DH20۷۲ : ۳۰۲. DH20۷۳ : ۳۰۳. DH20۷۴ : ۳۰۴. DH20۷۵ : ۳۰۵. DH20۷۶ : ۳۰۶. DH20۷۷ : ۳۰۷. DH20۷۸ : ۳۰۸. DH20۷۹ : ۳۰۹. DH20۸۰ : ۳۱۰. DH20۸۱ : ۳۱۱. DH20۸۲ : ۳۱۲. DH20۸۳ : ۳۱۳. DH20۸۴ : ۳۱۴. DH20۸۵ : ۳۱۵. DH20۸۶ : ۳۱۶. DH20۸۷ : ۳۱۷. DH20۸۸ : ۳۱۸. DH20۸۹ : ۳۱۹. DH20۹۰ : ۳۲۰. DH20۹۱ : ۳۲۱. DH20۹۲ : ۳۲۲. DH20۹۳ : ۳۲۳. DH20۹۴ : ۳۲۴. DH20۹۵ : ۳۲۵. DH20۹۶ : ۳۲۶. DH20۹۷ : ۳۲۷. DH20۹۸ : ۳۲۸. DH20۹۹ : ۳۲۹. DH20۱۰۰ : ۳۳۰. DH20۱۰۱ : ۳۳۱. DH20۱۰۲ : ۳۳۲. DH20۱۰۳ : ۳۳۳. DH20۱۰۴ : ۳۳۴. DH20۱۰۵ : ۳۳۵. DH20۱۰۶ : ۳۳۶. DH20۱۰۷ : ۳۳۷. DH20۱۰۸ : ۳۳۸. DH20۱۰۹ : ۳۳۹. DH20۱۱۰ : ۳۴۰. DH20۱۱۱ : ۳۴۱. DH20۱۱۲ : ۳۴۲. DH20۱۱۳ : ۳۴۳. DH20۱۱۴ : ۳۴۴. DH20۱۱۵ : ۳۴۵. DH20۱۱۶ : ۳۴۶. DH20۱۱۷ : ۳۴۷. DH20۱۱۸ : ۳۴۸. DH20۱۱۹ : ۳۴۹. DH20۱۲۰ : ۳۵۰. DH20۱۲۱ : ۳۵۱. DH20۱۲۲ : ۳۵۲. DH20۱۲۳ : ۳۵۳. DH20۱۲۴ : ۳۵۴. DH20۱۲۵ : ۳۵۵. DH20۱۲۶ : ۳۵۶. DH20۱۲۷ : ۳۵۷. DH20۱۲۸ : ۳۵۸. DH20۱۲۹ : ۳۵۹. DH20۱۳۰ : ۳۶۰. DH20۱۳۱ : ۳۶۱. DH20۱۳۲ : ۳۶۲. DH20۱۳۳ : ۳۶۳. DH20۱۳۴ : ۳۶۴. DH20۱۳۵ : ۳۶۵. DH20۱۳۶ : ۳۶۶. DH20۱۳۷ : ۳۶۷. DH20۱۳۸ : ۳۶۸. DH20۱۳۹ : ۳۶۹. DH20۱۴۰ : ۳۷۰. DH20۱۴۱ : ۳۷۱. DH20۱۴۲ : ۳۷۲. DH20۱۴۳ : ۳۷۳. DH20۱۴۴ : ۳۷۴. DH20۱۴۵ : ۳۷۵. DH20۱۴۶ : ۳۷۶. DH20۱۴۷ : ۳۷۷. DH20۱۴۸ : ۳۷۸. DH20۱۴۹ : ۳۷۹. DH20۱۵۰ : ۳۸۰. DH20۱۵۱ : ۳۸۱. DH20۱۵۲ : ۳۸۲. DH20۱۵۳ : ۳۸۳. DH20۱۵۴ : ۳۸۴. DH20۱۵۵ : ۳۸۵. DH20۱۵۶ : ۳۸۶. DH20۱۵۷ : ۳۸۷. DH20۱۵۸ : ۳۸۸. DH20۱۵۹ : ۳۸۹. DH20۱۶۰ : ۳۹۰. DH20۱۶۱ : ۳۹۱. DH20۱۶۲ : ۳۹۲. DH20۱۶۳ : ۳۹۳. DH20۱۶۴ : ۳۹۴. DH20۱۶۵ : ۳۹۵. DH20۱۶۶ : ۳۹۶. DH20۱۶۷ : ۳۹۷. DH20۱۶۸ : ۳۹۸. DH20۱۶۹ : ۳۹۹. DH20۱۷۰ : ۴۰۰. DH20۱۷۱ : ۴۰۱. DH20۱۷۲ : ۴۰۲. DH20۱۷۳ : ۴۰۳. DH20۱۷۴ : ۴۰۴. DH20۱۷۵ : ۴۰۵. DH20۱۷۶ : ۴۰۶. DH20۱۷۷ : ۴۰۷. DH20۱۷۸ : ۴۰۸. DH20۱۷۹ : ۴۰۹. DH20۱۸۰ : ۴۱۰. DH20۱۸۱ : ۴۱۱. DH20۱۸۲ : ۴۱۲. DH20۱۸۳ : ۴۱۳. DH20۱۸۴ : ۴۱۴. DH20۱۸۵ : ۴۱۵. DH20۱۸۶ : ۴۱۶. DH20۱۸۷ : ۴۱۷. DH20۱۸۸ : ۴۱۸. DH20۱۸۹ : ۴۱۹. DH20۱۹۰ : ۴۲۰. DH20۱۹۱ : ۴۲۱. DH20۱۹۲ : ۴۲۲. DH20۱۹۳ : ۴۲۳. DH20۱۹۴ : ۴۲۴. DH20۱۹۵ : ۴۲۵. DH20۱۹۶ : ۴۲۶. DH20۱۹۷ : ۴۲۷. DH20۱۹۸ : ۴۲۸. DH20۱۹۹ : ۴۲۹. DH20۲۰۰ : ۴۳۰. DH20۲۰۱ : ۴۳۱. DH20۲۰۲ : ۴۳۲. DH20۲۰۳ : ۴۳۳. DH20۲۰۴ : ۴۳۴. DH20۲۰۵ : ۴۳۵. DH20۲۰۶ : ۴۳۶. DH20۲۰۷ : ۴۳۷. DH20۲۰۸ : ۴۳۸. DH20۲۰۹ : ۴۳۹. DH20۲۰۱۰ : ۴۴۰. DH20۲۰۱۱ : ۴۴۱. DH20۲۰۱۲ : ۴۴۲. DH20۲۰۱۳ : ۴۴۳. DH20۲۰۱۴ : ۴۴۴. DH20۲۰۱۵ : ۴۴۵. DH20۲۰۱۶ : ۴۴۶. DH20۲۰۱۷ : ۴۴۷. DH20۲۰۱۸ : ۴۴۸. DH20۲۰۱۹ : ۴۴۹. DH20۲۰۲۰ : ۴۴۱۰. DH20۲۰۲۱ : ۴۴۱۱. DH20۲۰۲۲ : ۴۴۱۲. DH20۲۰۲۳ : ۴۴۱۳. DH20۲۰۲۴ : ۴۴۱۴. DH20۲۰۲۵ : ۴۴۱۵. DH20۲۰۲۶ : ۴۴۱۶. DH20۲۰۲۷ : ۴۴۱۷. DH20۲۰۲۸ : ۴۴۱۸. DH20۲۰۲۹ : ۴۴۱۹. DH20۲۰۲۱۰ : ۴۴۲۰. DH20۲۰۲۱۱ : ۴۴۲۱. DH20۲۰۲۱۲ : ۴۴۲۲. DH20۲۰۲۱۳ : ۴۴۲۳. DH20۲۰۲۱۴ : ۴۴۲۴. DH20۲۰۲۱۵ : ۴۴۲۵. DH20۲۰۲۱۶ : ۴۴۲۶. DH20۲۰۲۱۷ : ۴۴۲۷. DH20۲۰۲۱۸ : ۴۴۲۸. DH20۲۰۲۱۹ : ۴۴۲۹. DH20۲۰۲۲۰ : ۴۴۳۰. DH20۲۰۲۲۱ : ۴۴۳۱. DH20۲۰۲۲۲ : ۴۴۳۲. DH20۲۰۲۲۳ : ۴۴۳۳. DH20۲۰۲۲۴ : ۴۴۳۴. DH20۲۰۲۲۵ : ۴۴۳۵. DH20۲۰۲۲۶ : ۴۴۳۶. DH20۲۰۲۲۷ : ۴۴۳۷. DH20۲۰۲۲۸ : ۴۴۳۸. DH20۲۰۲۲۹ : ۴۴۳۹. DH20۲۰۲۳۰ : ۴۴۳۱۰. DH20۲۰۲۳۱ : ۴۴۳۱۱. DH20۲۰۲۳۲ : ۴۴۳۱۲. DH20۲۰۲۳۳ : ۴۴۳۱۳. DH20۲۰۲۳۴ : ۴۴۳۱۴. DH20۲۰۲۳۵ : ۴۴۳۱۵. DH20۲۰۲۳۶ : ۴۴۳۱۶. DH20۲۰۲۳۷ : ۴۴۳۱۷. DH20۲۰۲۳۸ : ۴۴۳۱۸. DH20۲۰۲۳۹ : ۴۴۳۱۹. DH20۲۰۲۳۱۰ : ۴۴۳۲۰. DH20۲۰۲۳۱۱ : ۴۴۳۲۱. DH20۲۰۲۳۱۲ : ۴۴۳۲۲. DH20۲۰۲۳۱۳ : ۴۴۳۲۳. DH20۲۰۲۳۱۴ : ۴۴۳۲۴. DH20۲۰۲۳۱۵ : ۴۴۳۲۵. DH20۲۰۲۳۱۶ : ۴۴۳۲۶. DH20۲۰۲۳۱۷ : ۴۴۳۲۷. DH20۲۰۲۳۱۸ : ۴۴۳۲۸. DH20۲۰۲۳۱۹ : ۴۴۳۲۹. DH20۲۰۲۳۱۱۰ : ۴۴۳۲۱۰. DH20۲۰۲۳۱۱۱ : ۴۴۳۲۱۱. DH20۲۰۲۳۱۱۲ : ۴۴۳۲۱۲. DH20۲۰۲۳۱۱۳ : ۴۴۳۲۱۳. DH20۲۰۲۳۱۱۴ : ۴۴۳۲۱۴. DH20۲۰۲۳۱۱۵ : ۴۴۳۲۱۵. DH20۲۰۲۳۱۱۶ : ۴۴۳۲۱۶. DH20۲۰۲۳۱۱۷ : ۴۴۳۲۱۷. DH20۲۰۲۳۱۱۸ : ۴۴۳۲۱۸. DH20۲۰۲۳۱۱۹ : ۴۴۳۲۱۹. DH20۲۰۲۳۱۱۱۰ : ۴۴۳۲۱۱۰. DH20۲۰۲۳۱۱۱۱ : ۴۴۳۲۱۱۱. DH20۲۰۲۳۱۱۱۲ : ۴۴۳۲۱۱۲. DH20۲۰۲۳۱۱۱۳ : ۴۴۳۲۱۱۳. DH20۲۰۲۳۱۱۱۴ : ۴۴۳۲۱۱۴. DH20۲۰۲۳۱۱۱۵ : ۴۴۳۲۱۱۵. DH20۲۰۲۳۱۱۱۶ : ۴۴۳۲۱۱۶. DH20۲۰۲۳۱۱۱۷ : ۴۴۳۲۱۱۷. DH20۲۰۲۳۱۱۱۸ : ۴۴۳۲۱۱۸. DH20۲۰۲۳۱۱۱۹ : ۴۴۳۲۱۱۹. DH20۲۰۲۳۱۱۱۱۰ : ۴۴۳۲۱۱۱۰. DH20۲۰۲۳۱۱۱۱۱ : ۴۴۳۲۱۱۱۱. DH20۲۰۲۳۱۱۱۱۲ : ۴۴۳۲۱۱۱۲. DH20۲۰۲۳۱۱۱۱۳ : ۴۴۳۲۱۱۱۳. DH20۲۰۲۳۱۱۱۱۴ : ۴۴۳۲۱۱۱۴. DH20۲۰۲۳۱۱۱۱۵ : ۴۴۳۲۱۱۱۵. DH20۲۰۲۳۱۱۱۱۶ : ۴۴۳۲۱۱۱۶. DH20۲۰۲۳۱۱۱۱۷ : ۴۴۳۲۱۱۱۷. DH20۲۰۲۳۱۱۱۱۸ : ۴۴۳۲۱۱۱۸. DH20۲۰۲۳۱۱۱۱۹ : ۴۴۳۲۱۱۱۹. DH20۲۰۲۳۱۱۱۱۱۰ : ۴۴۳۲۱۱۱۱۰. DH20۲۰۲۳۱۱۱۱۱۱ : ۴۴۳۲۱۱۱۱۱. DH20۲۰۲۳۱۱۱۱۱۲ : ۴۴۳۲۱۱۱۱۲. DH20۲۰۲۳۱۱۱۱۱۳ : ۴۴۳۲۱۱۱۱۳. DH20۲۰۲۳۱۱۱۱۱۴ : ۴۴۳۲۱۱۱۱۴. DH20۲۰۲۳۱۱۱۱۱۵ : ۴۴۳۲۱۱۱۱۵. DH20۲۰۲۳۱۱۱۱۱۶ : ۴۴۳۲۱۱۱۱۶. DH20۲۰۲۳۱۱۱۱۱۷ : ۴۴۳۲۱۱۱۱۷. DH20۲۰۲۳۱۱۱۱۱۸ : ۴۴۳۲۱۱۱۱۸. DH20۲۰۲۳۱۱۱۱۱۹ : ۴۴۳۲۱۱۱۱۹. DH20۲۰۲۳۱۱۱۱۱۱۰ : ۴۴۳۲۱۱۱۱۱۰. DH20۲۰۲۳۱۱۱۱۱۱۱ : ۴۴۳۲۱۱۱۱۱۱. DH20۲۰۲۳۱۱۱۱۱۱۲ : ۴۴۳۲۱۱۱۱۱

منابع

- Bus, A., N. Korber, R.J. Snowdon and B. Stich. 2011. Patterns of molecular variation in a species-wide germplasm set of *Brassica napus*. *Theoretical and Applied Genetics*, 123: 1413-1423.
- Chen, W., Y. Zhang, L. Xueping, B. Chen, J. Tu and F. Tingdong. 2007. Detection of QTL for six yield-related traits in oilseed rape (*Brassica napus* L.) using DH and immortalized F2 populations. *Theoretical and Applied Genetics*, 115: 849-858.
- Chen, S., M.N. Nelson, K. Ghamkhar, T. Fu and W.A. Cowling. 2008. Divergent patterns of allelic diversity from similar origins: the case of oilseed rape (*Brassica napus* L.) in China and Australia. *Genome*, 51: 1-10.
- Darvishnia, F.D., B.A. Fakheri, F. Nazarian firouzabadi and N. Panjehkeh. 2015. Genetic diversity of rapeseed (*Brassica napus* L.) using SSR and ISJ molecular markers. *Iranian Journal of Agricultural Science*, 46(1): 1-14 (In Persian).
- Dellaporta, S.L., J. Wood and J.B. Tickes. 1993. A plant molecular DNA mini preparation. Version II. *Plant Molecular Biology Reporter*, 1: 19-21.
- Diers, B.W. and T.C. Osborn. 1994. Genetic diversity of oilseed *Brassica napus* germplasm based on restriction fragment length polymorphisms. *Theoretical and Applied Genetics*, 88: 662-668.
- Evanno, G., S. Regnaut and J. Goudet. 2005. Detecting the number of clusters of individuals using the software structure: a simulation study. *Molecular ecology*, 14: 2611-2620.
- Fares, K., F. Guasmi, L. Touil, T. Triki and A. Ferchichi. 2009. Genetic diversity of Pistachio tree using inter-simple sequence markers (ISSR) supported by morphological and chemical markers. *Biotechnology*, 8(1): 24-34.
- Flakelar, C.L., D.J. Luckett, J.A. Howitt, G. Dorana and P.D. Prenzler. 2015. Canola (*Brassica napus*) oil from Australian cultivars shows promising levels of tocopherols and carotenoids, along with good oxidative stability. *Journal of Food Composition and Analysis*, 42: 179-186.
- Hasan, M., W. Friedt, J. Pons-Ku'hnemann, N.M. Freitag, K. Link and R.J. Snowdon. 2008. Association of gene-linked SSR markers to seed glucosinolate content in oilseed rape (*Brassica napus* ssp. *napus*). *Theoretical and Applied Genetics*, 116: 1035-1049.
- Howell, P.M., A.G. Sharpe and D.J. Lydiate. 2003. Homoeologous loci control the accumulation of seed glucosinolates in oilseed rape (*Brassica napus*). *Genome*, 46: 454-460.
- Johnson, U., J. West, C. Lister, S. Michwels, R. Amasino and C. Dean. 2000. Molecular analysis of FRIGIDA, a major determinant of natural variation in *Arabidopsis* flowering time. *Science*, 290: 344-347.
- Jun, Z., J. Congcong, C. Zhengying, L. Ruiyuan, L. Yan, C. Sheng and M. Jinling. 2010. Association mapping of seed oil content in *Brassica napus* and comparison with quantitative trait loci identified from linkage mapping. *Genome*, 53: 908-916.
- Li, Z., Sh. Mei, Zh. Mei, X. Liu, T. Fu, G. Zhou and J. Tu. 2014. Mapping of QTL associated with waterlogging tolerance and drought resistance during the seedling stage in oilseed rape (*Brassica napus*). *Euphytica*, 197: 341-353.
- Long, Y., J. Shi, D. Qiu, R. Li, C. Zhang, J. Wang, J. Hou, J. Zhao, L. Shi, B.S. Park, S.R. Choi, Y.P. Lim and J. Meng. 2007. Flowering time quantitative trait loci analysis of oilseed *Brassica* in multiple environments and genome wide alignment with *Arabidopsis*. *Genetics*, 177: 2433-2444.
- Lowe, A.J., C. Moule, M. Trick and K.J. Edwards. 2003. Efficient large-scale development of microsatellites for marker and mapping applications in *Brassica* crop species. *Theoretical and Applied Genetics*.
- Lowe, A.J., C. Moule, M. Trick and K.J. Edwards. 2004. Efficient large-scale development of microsatellites for marker and mapping applications in *Brassica* crop species. *Theoretical and Applied Genetics*, 108: 1103-1112.
- Mahjoob, B., H. Najafi-Zarini and SH.R. Hashemi. 2014. Assessment of genetic relationships among 36 *Brassica* genotypes using ISSR molecular markers. *Journal of Crop Breeding*, 6(14): 96-106 (In Persian).
- Moghaddam, M., S.A. Mohammadi, N. Mohebalipour, M. Toorchi, S. Aharizad and F. Javidfar. 2009. Assessment of genetic diversity in rapeseed cultivars as revealed by RAPD and microsatellite markers. *African Journal of Biotechnology*, 8(14): 3160-3167.
- Moghaieb, R.E.A., F.H.K. Mohammed and S.S. Youssif. 2014. Genetic diversity among some canola cultivars as revealed by RAPD, SSR and AFLP analyses. *Biotechnology*, 4: 403-410.
- Mohammadi, S.A. and B.M. Prasanna. 2003. Analysis of Genetic diversity in crop plants: Salient statistical tools and consideration. *Crop Science*, 43: 1235-1248.
- Naghavi, M.R., M. Mardi, S.M. Pirseyedi, M. Kazemi, P. Potki and M.R. Ghaffari. 2007. Comparison of genetic variation among accessions of *Aegilops tauschii* using AFLP and SSR markers. *Genetic Resources and Crop Evolution*, 54: 237-240.
- Nakao Kubo, M.H. 2008. Development and characterization of simple sequence repeat (SSR) markers in the. *Aquatic Botany*, 2164-2168.
- Nei, M. 1978. Estimation of average heterozygosity and genetic distance from a small number of individuals. *Genetics*, 89: 583-590.
- Piquemal, J., E. Cinquin, F. Couton, C. Rondeau, E. Seignoret, I. Doucet, D. Perret, M.J. Villeger, P. Vincourt and P. Blanchard. 2005. Construction of an oilseed rape (*Brassica napus* L.) genetic map with SSR markers. *Theoretical and Applied Genetics*, 111: 1514-1523.

26. Powell, W., M. Morgante, C. Ander, M. Hanafey, J. Vogel, S. Tingy and A. Rafalaski. 1996. The comparison of RFLP, RAPD, AFLP and SSR (microsatellite) marker for germplasm analysis. *Journal of Molecular Breeding*, 2: 225-238.
27. Pritchard, J.K., M. Stephens and P. Donnelly. 2000. Inference of population structure using multilocus genotype data. *Genetics*, 155: 945-959.
28. Qu, C., M. Hasan, K. Lu, L. Liu, X. Liu, J. Xie, M. Wang, J. Lu, N. Odat, R. Wang, L. Chen, Z. Tang and J. Li. 2012. Genetic diversity and relationship analysis of the *Brassica napus* germplasm using simple sequence repeat (SSR) markers. *African Journal of Biotechnology*, 11(27): 6923-6933.
29. Reddy, M.P., N. Sarla and E.A. Siddiq. 2002. Inter simple sequence repeat (ISSR) polymorphism and its application in plant breeding. *Euphytica*, 128: 9-17.
30. Rezaei Zad, A., V.A. Mohammadi, A.A. Zali, H. Zeinali and M. Mardi. 2012. Mapping QTLs controlling yield and yield components of oilseed rape under normal irrigation and drought stress conditions. *Journal of Breeding Seed and Plant*, 27: 199-218 (In Persian).
31. Roder, M.S., V. Korzun, K. Wendehake, J. Plaschke, M.H. Tixier, P. Leroy and M.W. Ganal. 1998. A microsatellite map of wheat. *Genetics*, 149: 2007-2023.
32. Shannon C.E. and W. Weaver. 1949. The mathematical theory of communication. University of Illinois Press, Urbana.
33. Siahsar, B.A., M. Allahdoo and H. Shahsavand Hasani. 2010. Evaluation of genetic diversity of tritopyrum, triticale and wheat lines through RAPD and ISJ markers. *Iran Journal of field Crop Science*, 41(3): 555-568 (In Persian).
34. Somers, D.J., K.R.D. Friesen and G. Rakow, G. 1998. Identification of molecular markers associated with linoleic acid desaturation in *Brassica napus*. *Theoretical and Applied genetics*, 96: 897-903.
35. Suwabe, K., H. Iketani, T. Nunome, T. Kage and M. Hirai. 2002. Isolation and characterization of microsatellites in *Brassica rapa* L. *Theoretical and Applied Genetics*, 104: 1092-1098.
36. Suwabe, K., H. Tsukazaki, H. Iketani, K. Hatakeyama, M. Fujimura, T. Nunome, H. Fukuoka, S. Matsumoto and M. Hirai. 2003. Identification of two loci for resistance to clubroot (*Plasmodiophora brassicae* Woronin) in *Brassica rapa* L. *Theoretical and Applied Genetics*, 107: 997-1002.
37. Tondelli, A., X. Xu, M. Moragues, R. Sharma, F. Schnaitmann, Ch. Ingvarsson, O. Manninen, J. Comadran, J. Russell and R. Waugh. 2013. Structural and temporal variation in genetic diversity of European spring two-row barley cultivars and association mapping of quantitative traits. *The Plant Genome*, 6(2).
38. Turi, N., A. Farhatullah, M.A. Rabbani and Z.K. Shinwari. 2012. Genetic diversity in the locally collected *Brassica* species of Pakistan based on microsatellite markers. *Pakestanian Journal Botany*, 44: 1029-1035.
39. Zali, H., O. Sofalian, T. Hasanloo, A. Asghari and M. Zeinalabedini. 2016. Drought stress effect on physiological parameter and amino acids accumulations in canola. *Journal of Crop Breeding*, 8: 191-203 (In Persian).
40. Zali, H., O. Sofalian, T. Hasanloo, A. Asghari and M. Zeinalabedini. 2016. Appropriate strategies for selection of drought tolerant genotypes in canola. *Journal of Crop Breeding*, 78(20): 77-90 (In Persian).
41. Zhao, J. and J. Meng. 2003. Genetic analysis of loci associated with partial resistance to *Sclerotinia sclerotiorum* in rapeseed (*Brassica napus* L.). *Theoretical and Applied Genetics*, 106: 759-764.

Assessment of Variability and Genetic Structure of Canola cultivars and Lines using SSR Markers Related on Drought Tolerance QTLs

Hassan Zali¹, Omid Sofalian², Mehrshad Zeinalabedini³, Tahereh Hasanloo⁴, Ali Asghari² and Bahram Alizadeh⁵

1- Assistant Professor, Seed and Plant Improvement Department, Fars Agricultural and Natural Resources Research Center, Agricultural Research, Education and Extension Organization (AREEO), Darab, Iran
(Corresponding author: hzali90@yahoo.com)

2- Associate Professor, Plant Breeding Department, University of Mohaghegh Ardabili, Ardabil

3- Assistant Professor, Department of Genomics, Agricultural Biotechnology Research Institute of Iran, AREEO, Karaj, Iran

4- Assistant Professor, Department of Molecular Physiology, Agricultural Biotechnology Research Institute of Iran, AREEO, Karaj, Iran

5- Associate Professor, Seed and Plant Improvement Institute, AREEO, Karaj, Iran

Received: April 4, 2017 Accepted: August 13, 2017

Abstract

In the present study, genetic diversity among 41 lines and genotypes of canola including 19 open-pollinated and hybrid cultivars, 17 promising lines and 5 double-haploid lines were determined using simple sequence repeat (SSR) markers related on drought tolerance QTLs. Thirty-six selected primers produced 166 discernible bands, with 157 (94.58%) being polymorphic, indicating considerable genetic diversity among lines and genotypes. The polymorphic information content values of loci were varied from 0.046 (FITO133) to 0.327 (BRMS-024), respectively. The average of PIC index was estimated 0.212. Cultivars were classified into two sub-populations according to analysis of population structure including (Talaye, Hyola420 and Hyola401 genotypes and DH1, DH5, DH8, Dh9 and DH11 double haploids) as first group and winter cultivars as second group (other cultivars and lines). Based on the analysis of molecular variance, intra-population variance was higher than inter-population variance. The results showed that average of marker index including Nei's gene diversity, Shannon's information index, the effective number of alleles were 1.508, 0.449 and 0.298 respectively in line and genotypes of canola. In total, the marker wasn't found to be using it as a marker for selecting genotypes of drought tolerant used in the first step of breeding programs.

Keywords: *Brassica napus*, Genetic diversity, Genetic structure, Microsatellites